

Trabalho N^o1 - MRAC Direto

COE603 - Controle Adaptativo

Caio Cesar Leal Verissimo - 119046624

Leonardo Soares da Costa Tanaka - 121067652

Lincoln Rodrigues Proença - 121076407

Engenharia de Controle e Automação - UFRJ

Rio de Janeiro, Rio de Janeiro, Brasil

Maio de 2025

Conteúdo

| | | |
|----------|---|----------|
| 1 | Resumo das equações do sistema | 2 |
| 1.1 | Equações do Algoritmo MRAC Direto | 2 |
| 1.2 | Estabilidade do Algoritmo MRAC Direto | 3 |
| 2 | Diagramas de blocos | 4 |
| 3 | Resultados das simulações | 6 |
| 3.1 | Simulação #1 | 6 |
| 3.2 | Simulação #2 | 6 |
| 3.3 | Simulação #3 | 6 |
| 3.4 | Simulação #4 | 6 |
| 3.5 | Simulação #5 | 6 |
| 3.6 | Simulação #6 | 6 |
| 3.7 | Simulação #7 | 6 |
| 3.8 | Simulação #8 | 6 |
| 3.9 | Simulação #9 | 6 |
| 3.10 | Simulação #10 | 6 |

1 Resumo das equações do sistema

Neste experimento, simulamos o algoritmo **MRAC Direto** para o caso:

- $n = 1$ (ordem da planta)
- $n^* = 1$ (grau relativo)
- $n_p = 2$ (número de parâmetros)

1.1 Equações do Algoritmo MRAC Direto

A Tabela 1 resume as equações fundamentais do algoritmo MRAC (Model Reference Adaptive Control) na forma direta, considerando uma planta de primeira ordem ($n = 1$), grau relativo igual a 1 ($n^* = 1$) e número de parâmetros $n_p = 2$.

| Descrição | Equação | Ordem |
|------------------|--|-------|
| Planta | $\dot{y} = a_p y + k_p u$ | 1 |
| Modelo | $\dot{y}_m = -a_m y_m + k_m r$ | 1 |
| Erro da saída | $e_0 = y - y_m$ | |
| Lei de controle | $u = \theta^T \omega$ | |
| Regressor | $\omega^T = \begin{bmatrix} y & r \end{bmatrix}$ | |
| Lei de adaptação | $\dot{\theta} = -\text{sign}(k_p) \Gamma \omega e_0$ | 2 |

Tabela 1: Resumo do Algoritmo MRAC Direto

A Figura 1 ilustra o diagrama de blocos do sistema em malha fechada, juntamente com a verificação da equivalência com o modelo de referência. Este diagrama mostra como a combinação dos ganhos adaptativos θ_1^* e θ_2^* pode transformar o comportamento da planta para que ela imite o modelo de referência.

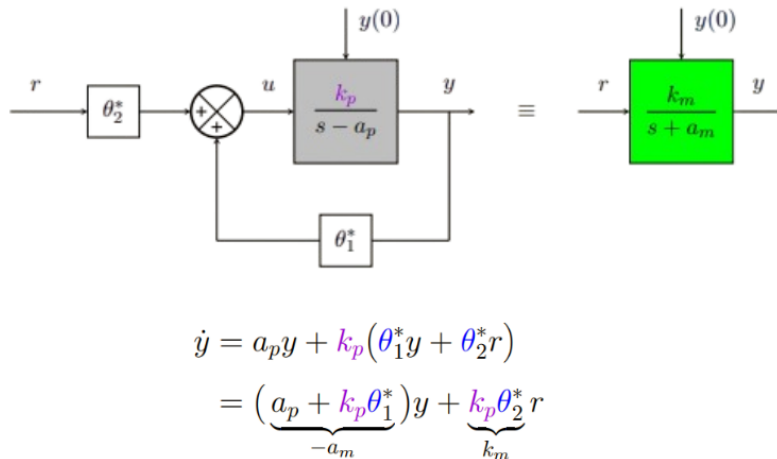


Figura 1: Diagrama de blocos e verificação da equivalência com o modelo de referência

As expressões ideais para os parâmetros θ_1^* e θ_2^* que garantem essa equivalência são apresentadas a seguir. Esses parâmetros são obtidos por identificação direta, com base nas constantes do modelo e da planta.

$$\theta_1^* = -\frac{a_p + a_m}{k_p}$$

$$\theta_2^* = \frac{k_m}{k_p}$$

Essas equações representam os valores ideais dos parâmetros adaptativos para que a planta controlada siga o comportamento especificado pelo modelo de referência. Na prática, o algoritmo de adaptação busca aproximar esses valores ao longo do tempo.

1.2 Estabilidade do Algoritmo MRAC Direto

1. Forma vetorial e definições Escrevendo em forma vetorial:

$$\boldsymbol{\theta}^* = \begin{bmatrix} \theta_1^* \\ \theta_2^* \end{bmatrix}, \quad \boldsymbol{\omega} = \begin{bmatrix} y \\ r \end{bmatrix} \implies u^* = \boldsymbol{\theta}^{*T} \boldsymbol{\omega}. \quad (1)$$

Analogamente, a lei de controle é

$$\boldsymbol{\theta} = \begin{bmatrix} \theta_1 \\ \theta_2 \end{bmatrix} \implies u = \boldsymbol{\theta}^T \boldsymbol{\omega}. \quad (2)$$

2. Dinâmica do erro Definimos o erro de saída:

$$e = y - y_m. \quad (3)$$

Subtraindo as dinâmicas da planta e do modelo:

$$\begin{aligned} \dot{e} &= \dot{y} - \dot{y}_m = (a_p y + k_p u) - (-a_m y_m + k_m r) \\ &= -a_m (y - y_m) + (a_p + a_m) y + k_p u - k_m r + \underbrace{(a_m y) - (a_m y)}_{=0} \\ &= -a_m e + k_p \left[\frac{a_p + a_m}{k_p} y + u - \frac{k_m}{k_p} r \right] \\ &= -a_m e + k_p [u - \theta_1^* y - \theta_2^* r] \\ &= -a_m e + k_p [u - u^*]. \end{aligned} \quad (4)$$

3. Erro paramétrico Definimos o vetor de erro de parâmetro:

$$\tilde{\boldsymbol{\theta}} = \boldsymbol{\theta} - \boldsymbol{\theta}^* \implies \dot{e} = -a_m e + k_p \tilde{\boldsymbol{\theta}}^T \boldsymbol{\omega}. \quad (5)$$

4. Função de Lyapunov Escolhemos

$$V(e, \tilde{\boldsymbol{\theta}}) = \frac{1}{2} e^2 + \frac{1}{2} |k_p| \tilde{\boldsymbol{\theta}}^T \Gamma^{-1} \tilde{\boldsymbol{\theta}}. \quad (6)$$

Calculando sua derivada:

$$\begin{aligned} \dot{V} &= e \dot{e} + |k_p| \tilde{\boldsymbol{\theta}}^T \Gamma^{-1} \dot{\tilde{\boldsymbol{\theta}}} \\ &= -a_m e^2 + k_p \tilde{\boldsymbol{\theta}}^T \boldsymbol{\omega} e + |k_p| \tilde{\boldsymbol{\theta}}^T \Gamma^{-1} \dot{\tilde{\boldsymbol{\theta}}}. \end{aligned} \quad (7)$$

Para garantir $\dot{V} \leq 0$, adotamos a lei de adaptação

$$\dot{\theta} = -\Gamma \text{sign}(k_p) \omega e. \quad (8)$$

5. Conclusões de estabilidade Com essa escolha,

$$\dot{V} = -a_m e^2 \leq 0, \implies e(t), \tilde{\theta}(t) \in \mathcal{L}_\infty. \quad (9)$$

Como $r(t) \in \mathcal{L}_\infty \Rightarrow y_m(t) \in \mathcal{L}_\infty$ e

$$\dot{V} \leq 0 \implies V(t) \leq V(0), \quad (10)$$

segue que

$$\int_0^t e^2(\tau) d\tau < \infty \implies e \in \mathcal{L}_2. \quad (11)$$

Finalmente, aplicando o lema de Barbalat,

$$e \in \mathcal{L}_2, \quad \dot{e} \in \mathcal{L}_\infty \implies \lim_{t \rightarrow \infty} e(t) = 0. \quad (12)$$

2 Diagramas de blocos

Nesta seção, apresentamos os principais diagramas de blocos que descrevem o funcionamento do controle adaptativo modelo-referência (MRAC) na sua forma direta. Cada figura ilustra uma parte fundamental do sistema, desde a estrutura geral até os componentes individuais como a planta, o modelo de referência e a malha de adaptação.

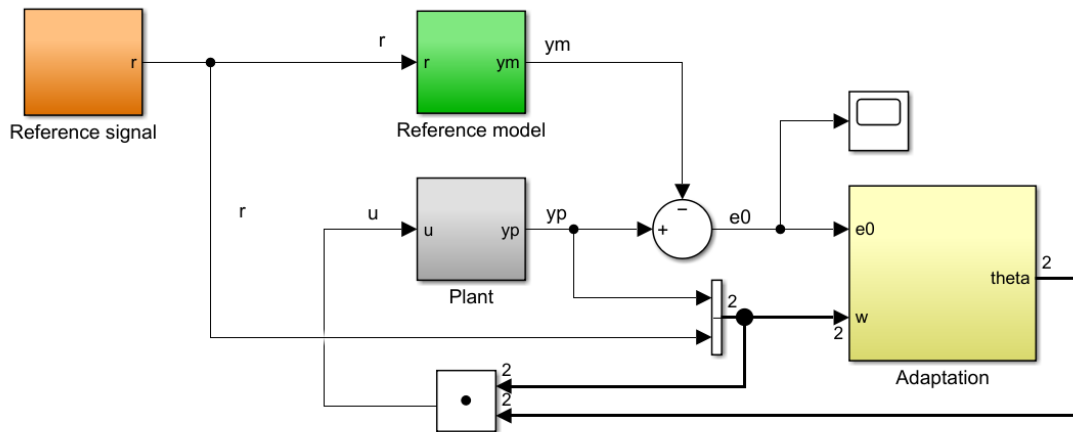


Figura 2: Diagrama de blocos geral do controle MRAC direto.

A Figura 2 mostra a arquitetura geral do controlador MRAC direto. O objetivo do sistema é ajustar os parâmetros do controlador de modo que a saída da planta acompanhe a saída do modelo de referência para qualquer entrada $r(t)$. O sinal de erro $e = y - y_m$ é utilizado para atualizar os parâmetros adaptativos.

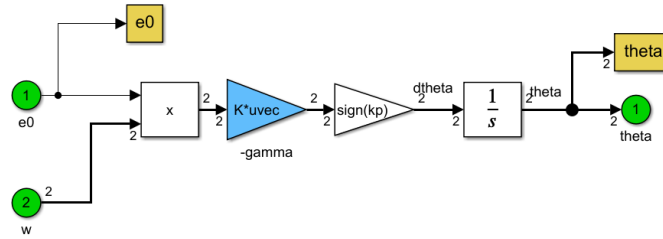


Figura 3: Malha de adaptação dos parâmetros θ .

Na Figura 3, destacamos a malha de adaptação, responsável por ajustar os parâmetros do controlador θ com base no erro de seguimento. Essa adaptação ocorre conforme uma lei de atualização derivada da função de Lyapunov, garantindo estabilidade do sistema.

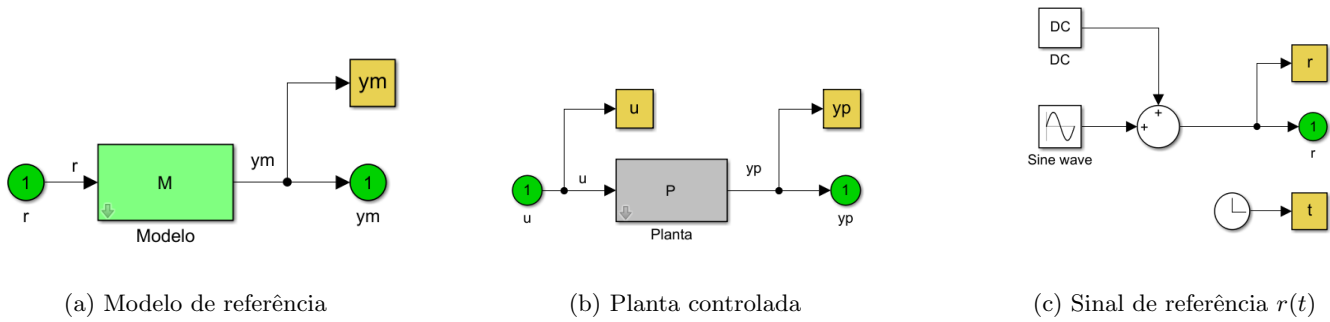


Figura 4: Componentes individuais do sistema MRAC.

A Figura 4 agrupa os blocos fundamentais do sistema MRAC. À esquerda, o modelo de referência define a dinâmica desejada para o sistema. Ao centro, está a planta controlada, que deve seguir essa referência. À direita, o sinal de referência $r(t)$ atua como entrada comum para ambos os blocos, sendo a base para comparação entre o comportamento ideal e o real.

3 Resultados das simulações

3.1 Simulação #1

3.2 Simulação #2

3.3 Simulação #3

3.4 Simulação #4

3.5 Simulação #5

3.6 Simulação #6

3.7 Simulação #7

3.8 Simulação #8

3.9 Simulação #9

3.10 Simulação #10